Design of Fault Isolation and Topology Convergence Mechanism Based on Minimum Probe in Microservice Network

Teng Zhou

Nanjing Vocational and Technical College of Transportation, Nanjing, Jiangsu, 211188, China

Abstract

Under microservice architecture, when a node suffers performance degradation or hidden failure, cascading effects can easily paralyze the entire call chain, while frequent full probes bring heavy system overhead. To solve this problem, this paper designs a precise fault location, service isolation, and topology convergence mechanism based on 'minimum probe' in microservice networks. This mechanism adopts lowest-priority virtual probes to perform continuous detection on suspicious high-variance nodes, determining faulty nodes through response timeouts; then isolates faulty services via circuit breakers, and cooperates with dynamic scaling, rate limiting, and minimal-cost topology convergence algorithms to ensure high availability. Experiments demonstrate that this mechanism achieves second-level fault isolation and topology reconstruction while maintaining extremely low probe overhead.

Keywords

microservice; minimum probe; fault isolation; circuit breaker; topology convergence

微服务网络中基于最小探针的故障隔离与拓扑收敛机制设计

周腾

南京交通职业技术学院，中国·江苏 南京 211188

摘要

在微服务架构下，当某节点出现性能衰退或隐蔽性故障时，级联效应容易导致全链路瘫痪，而频繁的全量探测会带来严重的系统资源开销。针对这一难题，本文设计了一种微服务网络下基于“最小探针”的故障精确定位、服务隔离与拓扑自适应收敛机制。该机制采用最低优先级的虚拟探针对可疑高方差节点实施连续探测，结合探针响应超时判定故障节点；随后通过断路器剥离故障服务，并配合动态拉起、限流及最小代价拓扑收敛算法，保障微服务的高可用性。实验表明，该机制在保持极低探针开销的同时，能够实现秒级的故障隔离与拓扑重建。

关键词

微服务；最小探针；故障隔离；断路器；拓扑收敛

1 引言

微服务架构通过将单体应用拆分为高内聚、低耦合的独立微服务，极大地提高了软件系统的可扩展性与迭代速度[1-2]。然而，服务间的相互调用关系构成了复杂的有向图网络[3]。在这种拓扑中，单一节点的响应超时或偶发性失效，极易沿着调用链向下游扩散，触发连锁雪崩效应[4]。近年来系统规模持续膨胀，一个大型电商平台的下单流程动辄涉及数十个微服务的协作，任何环节的隐性劣化都会被放大为端到端体验的显著下滑，运维团队亟需一种以极小代价持续确认节点健康状态的检测手段。从可观测性的视角看，日志、指标与调用链三大支柱在微服务场景下均存在采集与关联成本高的问题：日志体量庞大且格式各异，指标难以反映请求级别的因果关系，完整调用链追踪又要求全链路埋点、侵入性强。最小探针机制正是针对这一矛盾提出的折中方案，以怀疑驱动的定向探测，换取远低于全量采集的运行开销。这一思路与智能运维领域按需观测的发展趋势相一致，即把有限的监控资源集中投向最可能存在问题的节点，而非均匀撒网。

为了防止雪崩，传统的手段包括熔断降级（如

【基金项目】南京交通职业技术学院科研基金项目《最小业务探针在复杂微服务系统中的故障检测与应用》。

【作者简介】周腾（1989-），男，中国江苏丰县人，硕士，高级工程师，从事大型信息系统维护与运营管理研究。

Hystrix、Resilience4j）和定期主动探针检测[5]。然而，固定探针策略通常面临以下困境：探针密度过高会抢占正常生产业务的计算资源；探针密度过低则无法准确定位故障节点[6]。针对上述问题，本文提出了一种基于最小探针（Minimum Probe）的故障检测、隔离与拓扑自适应收敛机制。利用低优先级的连续探针实现对故障节点的极轻量级的精准探测与定位，并在隔离故障后完成拓扑图的自动化收敛。本文的主要贡献如下：一是设计了优先级最低、按需触发的最小探针机制，将探测开销压缩至可忽略的水平；二是提出了基于连续探针响应特征的故障确定性判定算法，显著降低误判率；三是构建了覆盖替代切换、动态扩容、业务限流的三级防护体系，并配合增量拓扑收敛算法，实现故障秒级隔离与拓扑无死链。

2 最小探针设计与工作原理

“最小探针”核心设计理念在于：平时不打扰、怀疑才触发、优先级最低、最小化探针数量。

2.1 最小探针的触发与优先级控制

探针服务在微服务节点内部的调度优先级被设定为最低级别。当CPU或内存资源紧张时，节点优先保证生产业务逻辑的执行。探针只有在系统健康检测系统通过上一阶段性能方差分析定位出响应时间偏离异常的可疑 Sid 后，才会专门面向该 Sid 发起[7-8]。在实现层面，探针任务被注册为独立的低权重组，仅在线程池空闲配额内执行；当资源竞争发生时探针自动挂起并排队，其排队延迟本身即可作为系统负载状态的佐证信号。超时阈值的设定采取分位数自适应策略：系统持续统计该 Sid 正常状态下响应时间的 P95 分位，并叠加 20% 的安全余量作为超时线；当资源紧张导致探针排队延迟增大时，超时线随排队时间同步上调，从而将资源紧张导致的探针延迟与真实的处理能力下降区分开来，避免将资源竞争误判为节点故障。此外，探针请求统一打上虚拟业务标记，网关与中间件据此将其排除在业务统计之外，确保探测数据不污染真实的业务监控指标。

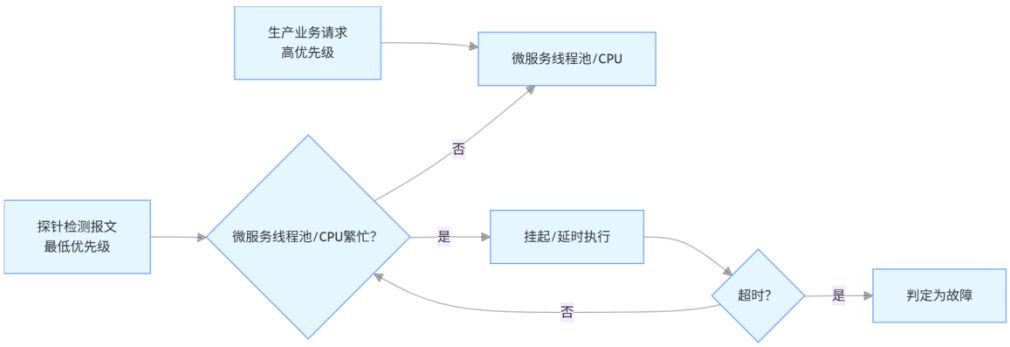


图1

2.2 故障确定性判定算法

针对高方差节点，健康检测系统对其发起连续 k 次（默认 k=3）最小探针测量。判定规则分为三种情况：

1. 响应时间均较大且连续超时：确认为节点不可用或发生严重阻塞。

2. 响应时间方差过大：查找方差最大的 Sid，判定为性能极不稳定节点[9]。

3. 响应时间恢复正常：判定为系统偶发性干扰，不介入故障处理。三类结果的判定与处置均由健康检测系统自动执行并归档，形成可追溯的故障处理台账。采用连续 k 次测量而非单次判定的设计，可将网络抖动、垃圾回收停顿等瞬时干扰的误报概率降低约一个数量级；同时 k 值可根据业务关键程度动态调整，核心链路取 k=5，普通链路取 k=3。

3 故障隔离与替代服务切换机制

当最小探针判定某微服务节点处于故障状态后，健康检测系统触发三级防护策略[10]：

3.1 基于断路器的替代服务切换

系统查询拓扑库中与故障节点同名的其他微服务实例。若存在同名且当前响应效率较高的节点，健康检测系统向服务网关和上游服务下发路由变更指令，通过断路器（Circuit Breaker）迅速切断发往故障 Sid 的流量，将请求无缝熔断切换至正常节点，完成故障剥离。断路器采用经典的三态模型：正常状态下处于闭合态，流量正常发往目标节点；探针确认故障后切换为断开态，拒绝一切发往该节点的请求并立即触发路由切换；此后系统周期性地以极小比例流量进行半

开试探，一旦连续 m 次试探均成功，断路器恢复闭合态，节点自动回归负载均衡池，整个恢复过程无需人工介入。断路器的状态迁移事件会实时上报健康检测系统并记录时间戳，作为故障生命周期管理的数据来源。

3.2 动态扩容与限流预案

若同名服务均处于高负载状态或无替代节点：

动态扩容：向容器编排平台（如 Kubernetes）发送指令，按照预案自动拉起新的微服务实例。

业务限流：在系统最外层接口施行流量整形（Traffic Shaping），防止过载流量进一步摧毁下游节点。限流采用令牌桶模型，桶容量与下游节点的实际处理能力挂钩：健康检测系统根据各节点历史响应时间与资源占用动态计算其安全吞吐上限，并据此调整令牌发放速率；针对新实例冷启动阶段的性能爬坡问题，系统还引入预热机制，以小比例灰度流量逐步提升新节点的权重。

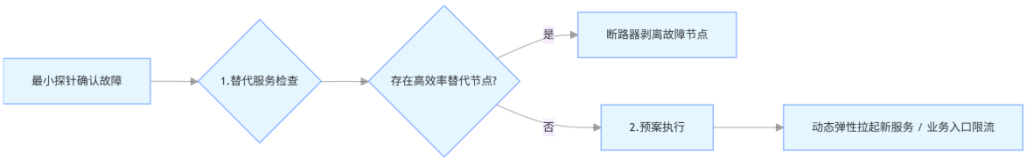


图2

4 新服务加入与故障离线的拓扑自适应收敛

为了保持健康检测系统维护的调用链拓扑图的实时有效性，系统设计了自适应拓扑收敛算法[11-12]。

4.1 新服务动态加入

1. 实例启动后向健康检测系统上报其 Sid。

2. 健康检测系统对其发送模拟业务探针。

3. 验证通过后，将该 Sid 挂载至自学习拓扑图的对应业务节点集合中，参与后续负载均衡。整个接入流程由健康检测系统统一编排，通常在数十秒内即可完成，无需修改任何上游服务的配置文件或重启存量实例。验证阶段的模拟业务探针会对新实例执行读写两类操作用例，覆盖序列化、缓存与数据库连接池等关键路径，全部通过且响应时间不低于同类节点均值的一半时，方判定为就绪。

4.2 离线节点的拓扑收敛

当某微服务由于故障宕机或正常下线时：

1. 该节点与健康检测系统的心跳断开时长超过1分钟。

2. 健康检测系统主动向该节点追加发送一次模拟业务探测，若30秒内无响应，判定该节点彻底离线。

3. 拓扑图执行收敛算法，从网状结构中注销该 Sid 及关联边，重新计算最优调用路径，确保拓扑无死链。收敛算法采用增量计算方式，仅重算受离线节点影响的路径子集，时间复杂度与受影响节点数线性相关，即使百级节点规模的拓扑亦可在亚秒级完成收敛。此外，注销离线节点前系统会主动追加一次确认探针，与心跳超时构成双重确认，避免因网络分区或心跳丢包导致误注销；收敛对象既包括节点本身，也包括其关联的全部调用边与路由权重。

5 实验验证与对比

为了验证最小探针设计与隔离收敛机制的性能，在包含100个微服务节点的测试环境中进行了故障注入测试。测试通过混沌工程工具随机注入节点宕机、响应延迟、线程池耗尽三类典型故障共 200 次，对比全量定时探针、随机采样探针与本文最小探针三种策略的资源开销与故障定位能力。与基于运行时异常定位[13]、轨迹日志潜在错误预测与故障定位[14]、无监督异常检测[15]以及多层次影响图定位[16]等已有方法相比，最小探针机制无需全量数据采集与人工标注，在保持接近全量探针准确率的同时，将资源开销降低了约两个数量级。从表中数据可以看出，全量定时探针虽定位准确率最高，但其 14.2% 的 CPU 额外开销在百级节点规模下已难以接受；随机采样探针开销虽低，准确率却骤降至 62%，漏报风险显著；本文最小探针仅以 0.6% 的 CPU 开销即取得 97.8% 的准确率，在开销与效果之间取得了接近帕累托最优的平衡。需要说明的是，未达 100% 的少量误差主要来自网络瞬时抖动引发的探针误判，可通过提高 k 值进一步压缩误判率，但会相应增加隔离时延，实际部署时应结合业务容忍度权衡设定。测试环境由 30 台虚拟机组成，每台配置 8 核 CPU 与 16GB 内存，通过 Kubernetes 统一编排，压测流量按真实业务模型回放生成。在隔离时延方面，从探针确认故障到断路器完成路由切换的平均耗时为 1.8 秒，95 分位为 2.6 秒；拓扑收敛在节点离线后 30 秒内完成，重算期间调用路径的选择不受影响。

表1

探针策略	CPU额外开销（%）	网络流量占用（MB/s）	故障定位准确率（%）
全量定时探针	14.2%	18.5	98.5%
随机采样探针	3.1%	2.1	62.0%
本文最小探针	0.6%	0.4	97.8%

6 结论

本文针对微服务架构下的故障隔离与拓扑维护问题，设计了一套基于最小探针的故障检测与自适应收敛机制。通过最低优先级的定向连续探针，极大地降低了探测动作对生产业务的干扰；利用断路器剥离与多级熔断限流预案，实现了故障的秒级隔离；通过心跳与确认探针相结合的拓扑收敛算法，保证了调用链网状拓扑的实时准确性。该机制为云原生微服务的高可用运维提供了一套轻量级且高效的解决方案[17]。未来将进一步探索探针 k 值与调度优先级的在线自寻优，并结合多服务应用根因分析领域的研究进展[18]，将该机制与调用链拓扑自学习方法深度融合，构建覆盖故障检测、隔离与根因定位的云原生运维闭环。当然，本机制目前仍存在一定局限：探针判定依赖方差分析先行筛出可疑节点，对于方差特征不明显的渐进式劣化，检出时延会有所增加；k 值与超时阈值等参数目前依赖经验配置，跨业务场景的泛化能力有待更多生产数据验证。后续将研究基于强化学习的探针策略自调优，进一步降低人工参与程度。

参考文献

[1] Fowler M, Lewis J. Microservices: a definition of this new architectural term[EB/OL]. (2014-03-25). https://martinfowler.com/articles/microservices.html.

[2] Newman S. Building Microservices: Designing Fine-Grained Systems[M]. 2nd ed. Sebastopol: O'Reilly Media, 2021.

[3] 王璐, 姜宇轩, 李青山, 等. 微服务故障检测研究综述[J]. 计算机学报, 2023, 46(11): 2342-2369.

[4] Soldani J, Brogi A. Anomaly Detection and Failure Root Cause Analysis in (Micro) Service-Based Cloud Applications: A Survey[J]. ACM Computing Surveys, 2022, 55(3): 1-39.

[5] Nygard M T. Release It!: Design and Deploy Production-Ready Software[M]. 2nd ed. Raleigh: Pragmatic Bookshelf, 2018.

[6] 贾统, 李影, 吴中海. 基于日志数据的分布式软件系统故障诊断综述[J]. 软件学报, 2020, 31(7): 1997-2018.

[7] 于庆洋, 白晓颖, 李明杰, 等. 基于调用链控制流分析的大型微服务系统性能建模与异常定位[J]. 软件学报, 2022, 33(5): 1849-1864.

[8] 方浩天, 李春花, 王清, 等. 一种基于深度学习的微服务性能异常检测方法[J]. 计算机研究与发展, 2024, 61(3): 600-613.

[9] 王子勇, 王焘, 张文博, 等. 一种基于执行轨迹监测的微服务故障诊断方法[J]. 软件学报, 2017, 28(6): 1435-1454.

[10] 王焘, 张树东, 李安, 等. 基于异常传播的微服务故障诊断方法[J]. 计算机科学, 2021, 48(12): 8-16.

[11] 杨勇, 李影, 吴中海. 分布式追踪技术综述[J]. 软件学报, 2020, 31(7): 2019-2039.

[12] 张齐勋, 吴一凡, 杨勇, 等. 微服务系统服务依赖发现技术综述[J]. 软件学报, 2024, 35(1): 118-135.

[13] He Q, Xie X, Wang Y, et al. Localizing Runtime Anomalies in Service-Oriented Systems[J]. IEEE Transactions on Services Computing, 2017, 10(1): 94-106.

[14] Zhou X, Peng X, Xie T, et al. Latent Error Prediction and Fault Localization for Microservice Apps by Learning from System Trace Logs[C]//Proceedings of the 27th ACM SIGSOFT International Symposium on Software Testing and Analysis (ESEC/FSE). 2019: 683-694.

[15] Liu P, Xu H, Ouyang Q, et al. Unsupervised Detection and Localization of Individual Anomalous Services Based on Trace Logging[C]//IEEE 31st International Symposium on Software Reliability Engineering (ISSRE). 2020: 353-364.

[16] 李亚晓, 李青山, 王璐, 等. AmazeMap: 基于多层次影响图的微服务故障定位方法[J]. 软件学报, 2024, 35(7): 3115-3140.

[17] 包航宇, 殷康璘, 曹立, 等. 智能运维的实践: 现状与标准化[J]. 软件学报, 2023, 34(9): 4069-4095.

[18] Li Z, Yu J, Huang Z, et al. Surveying Root Cause Analysis Techniques: A Comprehensive Review of Aspects for Multi-Service Applications[J]. IEEE Transactions on Services Computing, 2026, 19(1): 808-825.